УДК 621.314.1:621.382.2/.3

### С.В. Маморцев, Г.Я. Михальченко

# **Технология мягкой коммутации транзисторов** в преобразователе постоянного напряжения в постоянное

Рассматриваются возможности построения преобразователя постоянного напряжения в постоянное с мягкой коммутацией полупроводниковых ключевых элементов и уменьшением пульсаций входного и выходного токов.

**Ключевые слова:** DC-DC-преобразователь, схема Кука, динамические характеристики. коммутирующий дроссель, мягкое включение транзисторов, пульсации.

Широкое применение находят простейшие преобразователи постоянного напряжения в постоянное (DC/DC-преобразователи) в источниках питания светодиодного освещения, сварочных аппаратах инверторного типа, зарядных устройствах аккумуляторных батарей, зарядных устройствах индуктивных и емкостных накопителей энергии, а также в технологических источниках питания, нагрузка которых может изменяться в широких пределах. Как правило, такого рода преобразователи характеризуются жесткой коммутацией ключевых полупроводниковых элементов, что сопровождается неоправданно высоким уровнем динамических потерь и электромагнитных помех [1]. Кроме того, для защиты от перегрузок и коротких замыканий в цепи нагрузки в известных устройствах, основанных на базе повышающего преобразователя, требуется применять дополнительные довольно сложные схемотехнические решения, что приводит к снижению надежности, увеличению энергопотребления и массогабаритных показателей, а также к увеличению себестоимости продукции.

Особое место среди DC/DC-преобразователей занимает преобразователь постоянного напряжения в постоянное, выполненный по схеме Кука (рис. 1), в силу непрерывности как потребляемого, так и выходного токов и меньших пульсаций выходного напряжения [2].

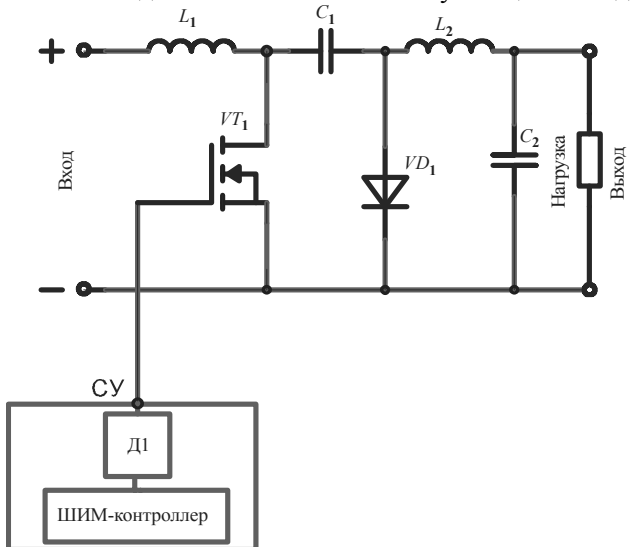


Рис. 1. Преобразователь Кука

Но и преобразователю Кука также свойственны высокие значения динамических потерь, связанные с тем, что к моменту включения транзистора его «паразитная» емкость заряжена до удвоенного напряжения источника питания, и при включении транзистора эта емкость разряжается импульсным током, в десятки раз превышающим номинальное значение тока транзистора. Кроме того, дополнительно в этот же момент транзистор нагружается еще и обратным током выключающегося диода по цепи: положительная обкладка накопительного конденсатора C, транзистор VT, диод VD, отрицательная обкладка накопительного конденсатора. Суммарное значение этого импульсного тока сопровождается выделением на кристалле транзистора мощности в

десятки киловатт за доли микросекунды, что приводит к постепенной деградации кристалла и, как следствие, к сокращению срока службы преобразователя. Традиционно снижение динамических нагрузок на кристалл транзистора достигается включением в схему снабберных RC- или RCD- цепей, что приводит к снижению коэффициента полезного действия.

Наиболее хорошие результаты по уменьшению динамических потерь достигнуты в схемах резонансных и квазирезонансных преобразователей. Но стоит отметить, что в данных решениях регулирование выходного напряжения осуществляется изменением длительности паузы при постоянстве длительности резонансного колебания, т.е. используется частотно-импульсная модуляция, что

ограничивает диапазон регулирования выходных токов и напряжений. Расширение этого диапазона способствует увеличению девиации частоты, что значительно повышает частотные требования к полупроводниковым приборам, магнитным материалам, конденсаторам, увеличиваются пульсации входного тока и выходного напряжения, а это сопровождается повышением массогабаритных показателей и стоимости фильтрующих элементов. Поэтому разработчики устройств силовой электроники ведут поиск путей построения преобразователей с широтно-импульсной или широтночастотно-импульсной модуляцией при мягкой коммутации транзисторов [3].

Одним из путей разрешения такого рода проблемной ситуации является построение двухфазной схемы преобразователя с коммутационным дросселем (рис. 2), обеспечивающим мягкое переключение транзисторов с широтно-импульсной модуляцией. Этим достигается отсутствие всплесков выделяемой на кристалле MOSFET транзистора мгновенной мощности в моменты включения и выключения транзистора [4]. Этот эффект обусловлен переключением транзисторов при нулевом токе, что повышает коэффициент полезного действия посредством уменьшения динамических потерь.

Структурная схема двухфазного преобразователя по схеме Кука с коммутирующим дросселем представлена на рис. 2, а временные диаграммы, поясняющие принцип работы преобразователя на рис. 3, 4.

В установившемся режиме работы преобразователя в момент времени  $t_1$  (см. рис. 2) выключается транзистор  $VT_1$  и включается транзистор  $VT_2$  по сигналам ШИМ контроллера выходными напряжениями драйверов  $U_{\pi 1}$  и  $U_{\pi 2}$ . Ток  $I_{L1}$  начинает

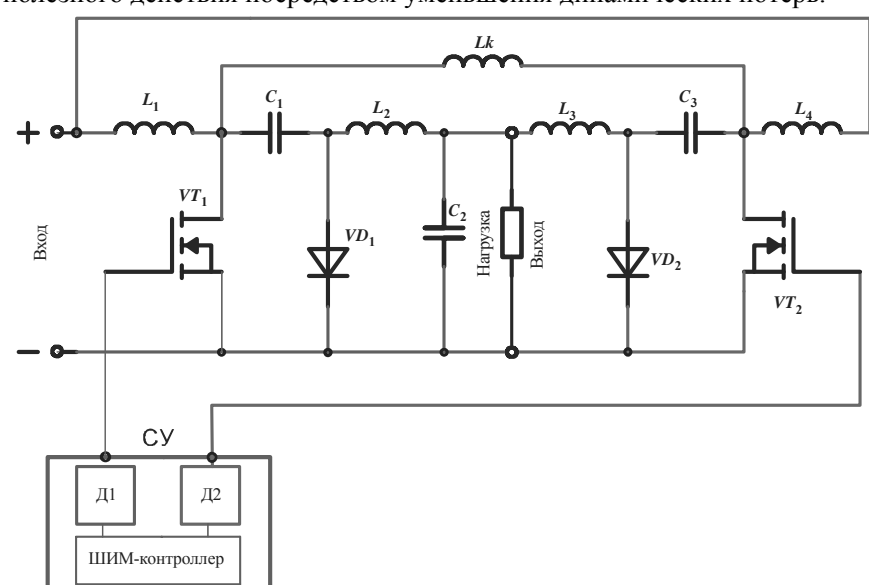


Рис. 2. Преобразователь постоянного напряжения в постоянное

нарастать, а ток  $I_{L4}$  спадает. Конденсатор  $C_1$  подзаряжается до удвоенного значения напряжения источника питания, в то время как конденсатор  $C_3$  подразряжается током нагрузки через включенный транзистор  $VT_2$ , который выключается в момент времени  $t_2$ . Суммарный ток дросселей  $L_1$  и  $L_4$  представляет собой потребляемый от источника питания ток  $I_{\rm BX}$ . Аналогично сумма токов  $I_{L2}$  и  $I_{L3}$  выходных дросселей является током нагрузки  $I_{\rm H}$  и током конденсатора фильтра  $C_6$ .

На интервале выключенного состояния транзистора  $VT_1$  дроссель  $L_2$  отдает накопленную энергию в конденсатор фильтра и нагрузку по цепи: вывод дросселя  $L_2$ , диод  $VD_1$ , конденсатор  $C_2$ , второй вывод дросселя  $L_2$ . Заряженный на интервале времени  $t_2-t_5$  до удвоенного напряжения источника питания конденсатор  $C_2$  на следующем интервале разряжается через транзистор по цепи: плюс конденсатора  $C_3$ , транзистор  $VT_2$ , конденсатор  $C_2$ , дроссель  $L_3$ , минус конденсатора  $C_3$ . Дроссель  $L_3$  при этом накапливает энергию.

В интервале времени  $t_2-t_3$  оба транзистора выключены, питание нагрузки обеспечивается энергией конденсатора фильтра  $C_2$ . Дроссель  $L_4$ , конденсатор  $C_3$ , коммутирующий дроссель Lk, конденсатор  $C_1$ , дроссель  $L_2$  образуют контур, обеспечивающий при максимальных углах регулирования ШИМ контроллера снижение потенциала на стоке выключенного транзистора  $VT_1$  до отрицательного напряжения, при котором включается встроенный в него обратный диод, как показано на рис. 3. Поскольку потенциал  $U_{VT1}$  стока выключенного в интервале времени  $t_1-t_3$  транзистора  $VT_1$  определяется суммой напряжений замкнутого контура, образованного дросселями  $L_1$ ,  $L_4$ ,  $L_6$ , и к моменту времени  $t_2$  становится равным нулю, то и включение его в момент времени  $t_3$  осуществляется при нулевом напряжении и отрицательном токе  $I_{VT1}$ , протекающем через встроенный обратный диод. В интервале времени  $t_3-t_5$  аналогичные процессы протекают в транзисторе  $VT_2$ , работающем в противотактном режиме.

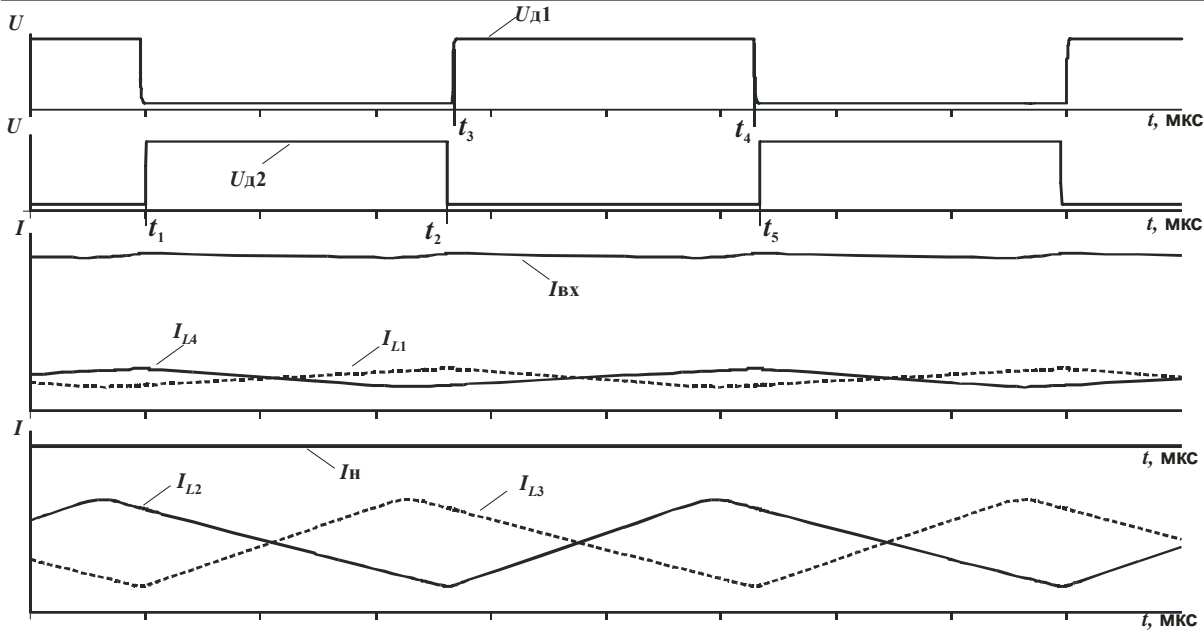


Рис. 3. Временные диаграммы работы преобразователя

Рассмотрим процессы мягкого включения транзисторов, которые пояснены диаграммами на рис. 4. К концу интервала проводимости, например транзистора  $VT_1$ , ток дросселя  $L_2$  убывает до нулевого значения и под действием напряжения на конденсаторе  $C_2$  изменяет свое направление. В это же время ток подзарядки конденсатора  $C_1$  снижается, приближаясь к значению, близкому к нулю, и как только он сравняется с током дросселя  $L_2$ , диод  $VD_1$  запирается. Ток дросселя  $L_2$  продолжает протекать, теперь уже по цепи: вывод дросселя  $L_2$ , конденсатор  $C_1$ , паразитная емкость стокисток транзистора  $VT_1$ , конденсатор фильтра  $C_2$ , второй вывод дросселя  $L_2$ . Этим током разряжается паразитная емкость транзистора  $VT_1$  до нулевого значения и перезаряжается до противоположной

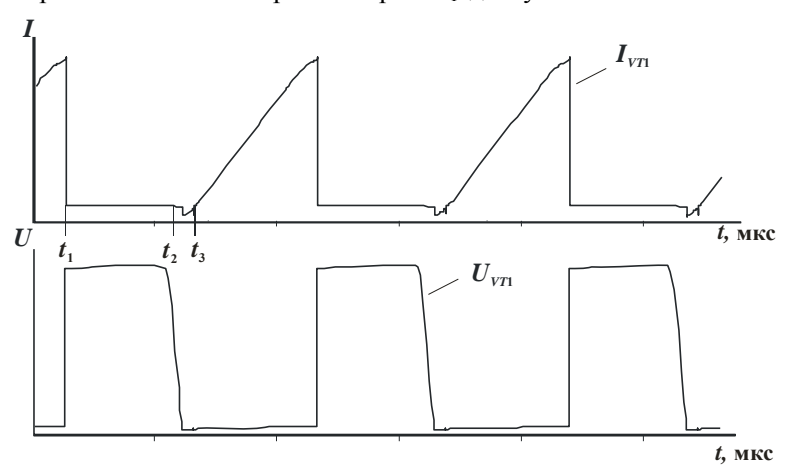


Рис. 4. Временные диаграммы работы преобразователя

полярности, при которой открывается встроенный обратный диод транзистора, который и ограничивает обратное напряжение на транзисторе. Мягкая коммутация транзистора возможна с данного момента времени и до момента, когда накопленная энергия дросселя  $L_2$  не снизится до нулевого значения. В противотактном транзисторе  $VT_2$  процессы включения протекают аналогично рассмотренным.

Таким образом, к моменту включения транзисторов  $VT_1$  и

 $VT_2$  потенциалы  $U_{VT1}$  и  $U_{VT2}$  стока этих транзисторов спадают до нуля, и через встроенные обратные диоды начинает протекать отрицательный ток в направлении исток-сток, как показано на рис. 3. Это приводит к тому, что в момент включения рассеиваемая на кристалле транзистора мощность равна нулю. В момент выключения транзисторов в предлагаемом преобразователе и в преобразователе по классической схеме Кука динамическая мощность на транзисторах сравнима и находится на уровне статической рассеиваемой мощности.

Кроме того, как показано на рис. 2, токи  $I_{L4}$  и  $I_{L1}$  складываются таким образом, что потребляемый входной ток  $I_{\rm BX}$  преобразователя становится практически постоянным за счет того, что имеет удвоенную частоту пульсаций по отношению к частоте коммутации транзисторов и минимальные амплитуды пульсаций. Аналогично, за счет эффекта сложения токов  $I_{L2}$  и  $I_{L3}$ , изменяющихся противоположно, выходной ток  $I_{\rm H}$  нагрузки преобразователя имеет сглаженную форму постоянного

тока. Пиковые значения тока и рассеиваемой мощности транзистора преобразователя по классической схеме Кука во много раз выше значения тока и мощности транзистора рассматриваемого преобразователя. В частности, по результатам имитационного моделирования преобразователя, построенного по классической схеме Кука (см. рис. 1), численные значения амплитуды динамического тока разряда «паразитной» емкости транзистора в моменты включения в 22 раза превышают таковые в математической модели схемы, представленной на рис. 2. Такой эффект сопровождается тем, что пиковые значения амплитуды мгновенной мощности снижаются в сотни раз. В частности, в сравниваемых моделях снижение пиковой мощности достигает 289 раз.

**Заключение.** Таким образом, рассмотренный преобразователь обладает существенно меньшими динамическими потерями в момент включения транзисторов, обеспечивает повышение коэффициента полезного действия, улучшает надежность и срок службы преобразователя. Также значительно уменьшаются пульсации входного и выходного токов в количество раз, равное количеству параллельно соединенных ячеек преобразователей по схеме Кука с коммутирующими дросселями, соединяющими стоки транзисторов. Не менее важно и то, что коммутирующий дроссель переменного тока Lk определяет строго противофазное изменение переменной составляющей токов дросселей  $L_1, L_2, L_3, L_4$  и строгое равенство постоянных составляющих, т.е. придает каждой ячейке «естественные» свойства равномерного распределения этих токов.

#### Литература

- 1. Михальченко Г.Я. Научно-технические проблемы электропитания / Г.Я. Михальченко, С.Г. Михальченко, А.Н. Четин // Труды Всерос. научно-техн. конф. М.: ЗАО «ММП-Ирбис», 2011.
- 2. U. S. Patent 4,257,087. Mar. 17, 1981. DC-to-DC Switching Converter With Zero Input And Output Current Ripple And Integrated Magnetics Circuits / Slobodan M. Cuk.
- 3. Кобзев А.В., Михальченко Г.Я., Музыченко Н.М. Модуляционные источники питания РЭА. Томск: Радио и связь, Томский отдел, 1990. 336 с.
- 4. Пат. 2464692 РФ, МПК Н 02 М 3/335. Преобразователь постоянного напряжения в постоянное (варианты) / Г.Я. Михальченко (РФ), С.В. Маморцев (РФ), С.Г. Михальченко (РФ). №2 011 134 950 / 07; заявл. 19.08.2011; опубл. 20.10.2012. Бюл. № 29. 13 с.

#### Маморцев Степан Валерьевич

Аспирант каф. промышленной электроники ТУСУРа

Тел.: 8 (382-2) 90-00-29, доб.107 Эл. почта: stepan mamortsev@mail.ru

## Михальченко Геннадий Яковлевич

Д-р техн. наук, профессор каф. промышленной электроники ТУСУРа

Тел.: 8 (382-2) 41-32-32

Эл. почта: kpe-tusur@yandex.ru

Mamortsev S.V., Mikhalchenko G.Y.

# Technology of soft switching of transistors in DC-DC converter

Opportunities of DC-DC converter designing with soft switching of semiconductor switching elements and reducing of input and output currents ripple are explored in article.

**Keywords:** DC-DC converter, Cuk scheme, dynamic characteristics, commutating choke, soft switching of transistors, ripple.